



# Boletín mensual Vigilancia Volcánica de Tenerife

---

## SEPTIEMBRE 2017

**El Instituto Volcanológico de Canarias (INVOLCAN)** es una entidad demandada unánimemente por el Senado (2005), Parlamento de Canarias (2006), Asamblea General de la Federación Canaria de Municipios, FECAM (2008), Congreso de los Diputados (2009) y la Asamblea General de la Federación Canaria de Islas, FECAI (2014), que instan a la Administración General del Estado y de la Comunidad Autónoma de Canarias, así como a los Cabildos Insulares, a la apuesta conjunta de todos los recursos humanos y técnicos que las diferentes administraciones públicas Españolas destinan a la gestión científica del riesgo volcánico en España con la finalidad de garantizar una coordinación efectiva y eficiente para contribuir al fortalecimiento de las acciones destinadas a la reducción del riesgo volcánico en España; dígase Canarias, la única región volcánicamente activa del territorio nacional con riesgo volcánico. Desde finales de 2010 el INVOLCAN es una realidad gracias a la implicación del Cabildo Insular de Tenerife, estando a la espera de la participación del resto de las administraciones públicas.

### Introducción

---

En el presente boletín se presentan los datos registrados por las redes instrumentales permanentes y las campañas científicas periódicas de observación para la monitorización de la actividad volcánica en Tenerife correspondientes al mes de septiembre de 2017. Los boletines mensuales de INVOLCAN serán publicados a principios de cada mes reflejando la actividad del mes anterior. El copyright de los datos y de las elaboraciones mostradas en el presente boletín es propiedad intelectual de INVOLCAN. Solo está permitida exclusivamente la difusión del presente boletín en su totalidad. La autorización a la publicación parcial, también en forma elaborada, debe ser solicitada previamente a INVOLCAN mediante correo electrónico ([involcan@gmail.com](mailto:involcan@gmail.com)). La fuente de los datos sísmicos anteriores al 21/11/2016, fecha en que ha entrado en plena operatividad la Red Sísmica Canaria gestionada por INVOLCAN, proceden de la página web del Instituto Geográfico Nacional, IGN. Los datos mostrados en el presente boletín podrían estar sujetos a futuras revisiones. Se declina cualquier responsabilidad derivada de un uso inadecuado de la información aquí presentada.



## Resumen

---

- En el mes de septiembre de 2017, la Red Sísmica Canaria ha registrado **83** terremotos de baja magnitud ( $M_{\max}=2.6$ ) en la isla de Tenerife y sus alrededores.
- Los valores de temperatura de las fumarolas del Teide y de la estación termométrica TFT12, no muestran tendencias significativas.
- La Red GPS Canaria (ITER-GRAFCAN-Universidad de Nagoya) que opera el INVOLCAN no ha registrado desplazamientos horizontales y verticales significativos.
- En el mes de septiembre de 2017, no fue posible acceder al cráter del Teide debido causas meteorológicas y logísticas. En la última medida, tomada el 21 de agosto del 2017, la emisión difusa de dióxido de carbono ( $\text{CO}_2$ ) en el cráter del Teide registró valores de  $145 \pm 40$  toneladas diarias (t/d). El resto de los parámetros geoquímicos que se presentan en este informe no muestran variaciones significativas durante el mes de septiembre de 2017.

## Valoración

---

El incremento observado en la emisión difusa de dióxido de carbono ( $\text{CO}_2$ ), emanaciones no visibles al ojo humano, en el cráter del Teide desde el pasado mes de noviembre de 2016 refleja un proceso de presurización del sistema volcánico-hidrotermal, probablemente vinculado a la inyección de gases de origen magmático en el sistema. La ausencia de deformaciones significativas del terreno hace poco probable la implicación directa de un sistema magmático superficial.

A corto plazo, no se puede excluir que continúe este episodio de presurización del sistema volcánico-hidrotermal. Además, podrían producirse más terremotos de pequeña magnitud y de entidad parecida al ocurrido el 6 de enero 2017. Por otra parte, puede excluirse la ocurrencia de terremotos capaces de generar daños a corto plazo. El registro de un incremento en la emisión difusa de dióxido de carbono ( $\text{CO}_2$ ) en el cráter del Teide ha sido y es de interés científico para el fortalecimiento del sistema de alerta temprana, pero no ha representado ni representa peligro alguno para las personas que acceden diariamente al Pico del Teide.

Recordar que en la actualidad el semáforo volcánico para Tenerife se encuentra en posición **VERDE**. Por lo tanto, y según el Plan Especial de Protección Civil y Atención de Emergencias por Riesgo Volcánico en la Comunidad Autónoma de Canarias (PEVOLCA), **los residentes y visitantes en la isla pueden desarrollar sus actividades con absoluta normalidad.**



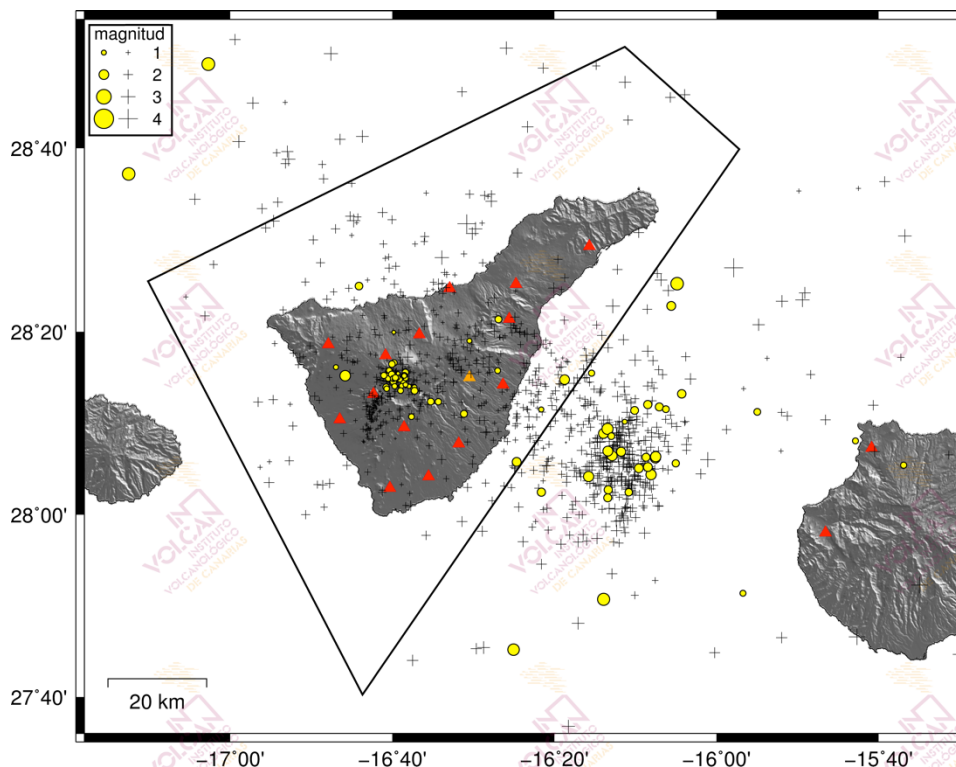
## 1 - Sismología

Durante el mes de septiembre de 2017, la Red Sísmica Canaria (Fig. 1.1) ha estado en funcionamiento con una media de 13 estaciones operativas. Todos los hipocentros han sido relocalizados manualmente. La incertidumbre en las localizaciones hipocentrales es generalmente de unos pocos kilómetros, mientras que en las magnitudes es de alrededor de 0.2 unidades.

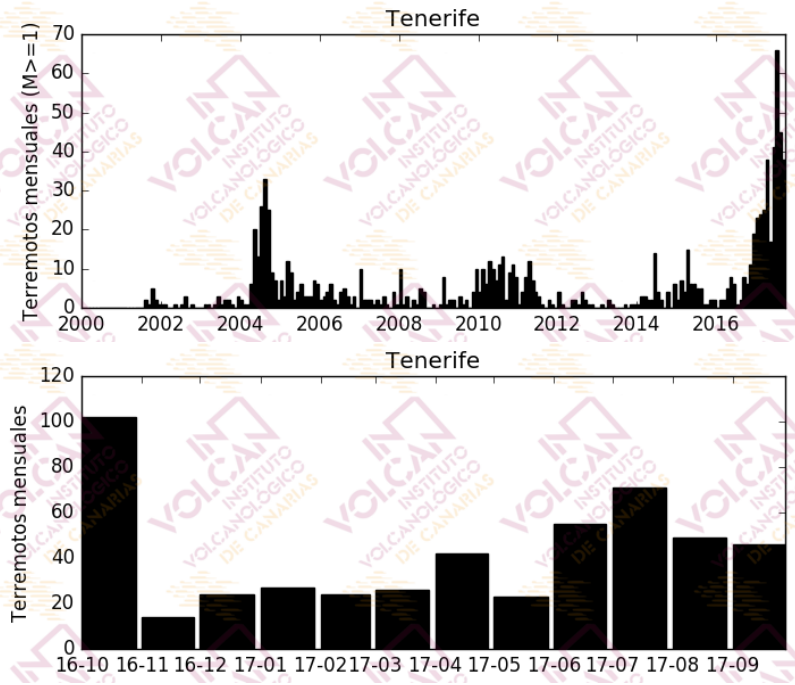
Los hipocentros de los **83** terremotos registrados por la Red Sísmica Canaria durante el mes de septiembre de 2017 han sido localizados en su práctica totalidad debajo de la isla de Tenerife (Fig. 1.1). La magnitud máxima observada ha sido de **2.6** y asociada a dos eventos del 10 de septiembre 2017 a las 22:25 y 22:39 UTC, siendo localizados unos 50 km al noroeste de la isla de Tenerife.

En septiembre 2017, el número de terremotos (Fig. 1.2), la energía sísmica liberada (Fig. 1.5, 1.6), las profundidades (Fig. 1.3) y las magnitudes (Fig. 1.4), no muestran ninguna variación significativa.

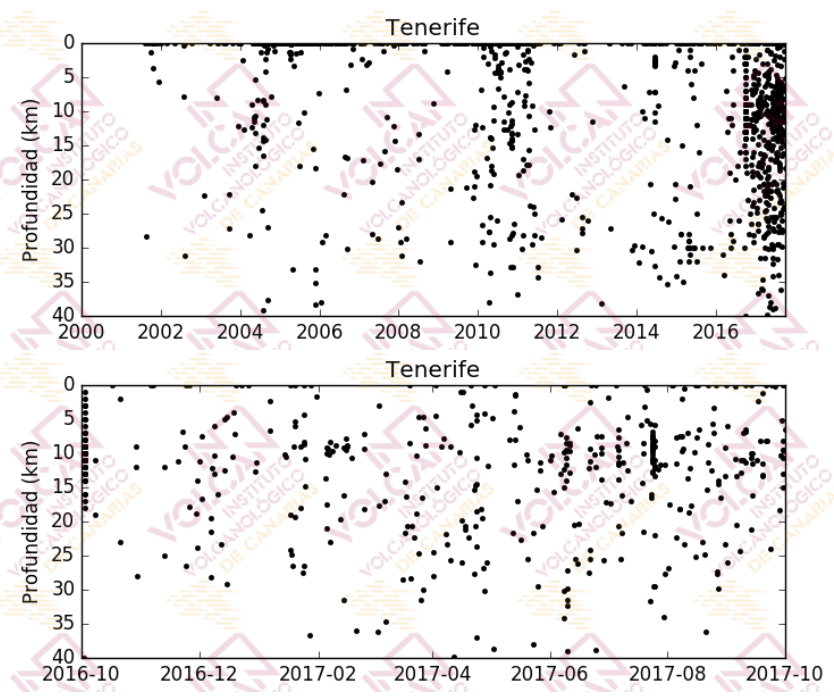
El cálculo de las variaciones relativas de velocidad sísmica a través de interferometría del ruido sísmico, no ha detectado variaciones mayores de  $\pm 0.05\%$  (Fig. 1.7).



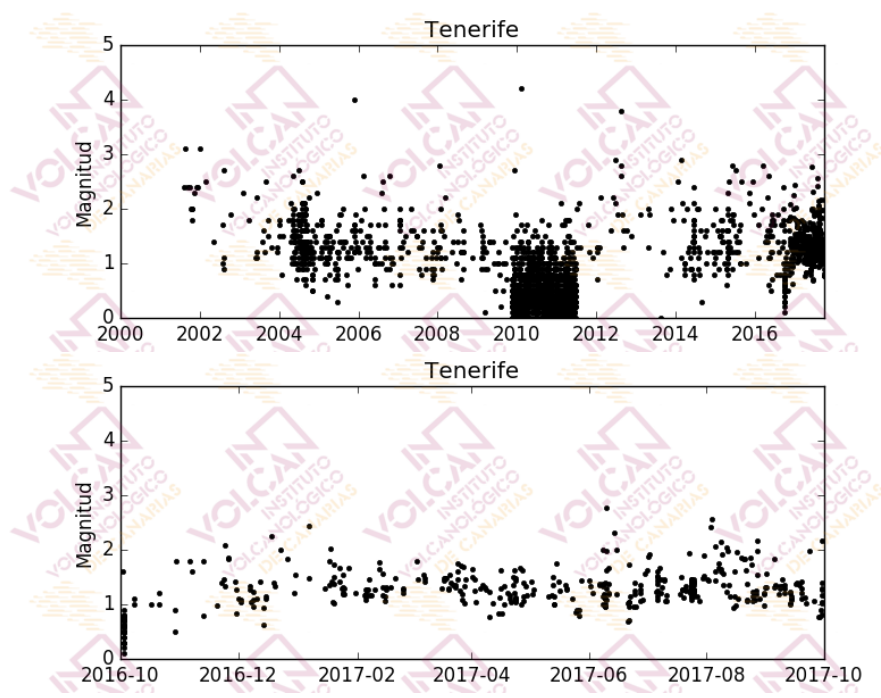
**Figura 1.1** - Hipocentros de los terremotos localizados por la Red Sísmica Canaria (triángulos rojos) en septiembre de 2017 (círculos amarillos). Las cruces muestran los hipocentros localizados en los últimos 12 meses. El polígono negro corresponde al área de Tenerife considerada para las estadísticas sismológicas en los gráficos siguientes. [La fuente de los datos sísmicos anteriores al 21/11/2016 es el Instituto Geográfico Nacional, IGN].



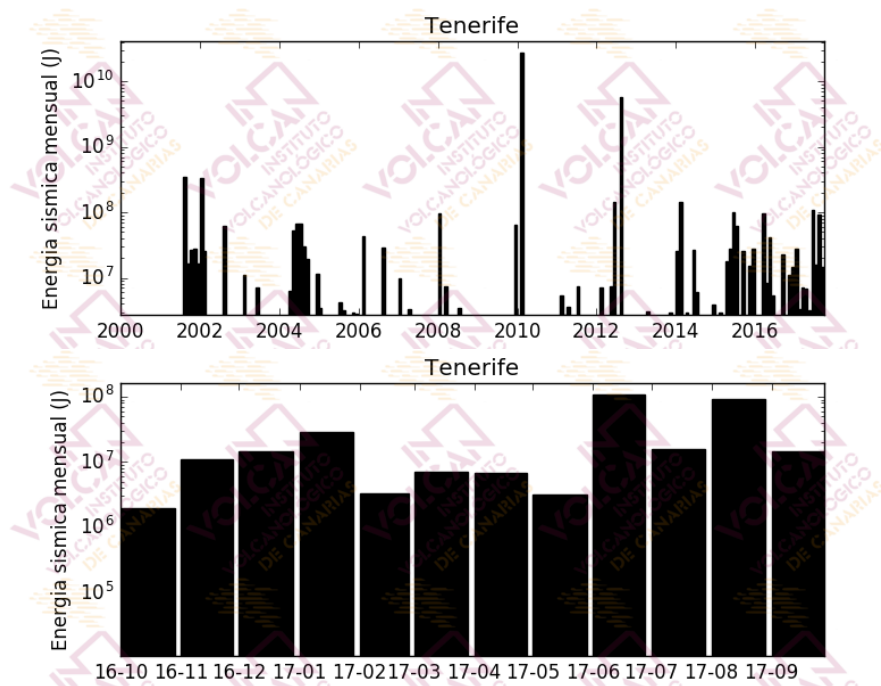
**Figura 1.2** - Número de terremotos mensuales en Tenerife. El histograma superior corresponde al periodo enero 2000-septiembre 2017 para terremotos con  $M \geq 1$ , mientras que el inferior muestra el periodo octubre 2016-septiembre 2017 para todas las magnitudes. [La fuente de los datos sísmicos anteriores al 21/11/2016 es el Instituto Geográfico Nacional, IGN].



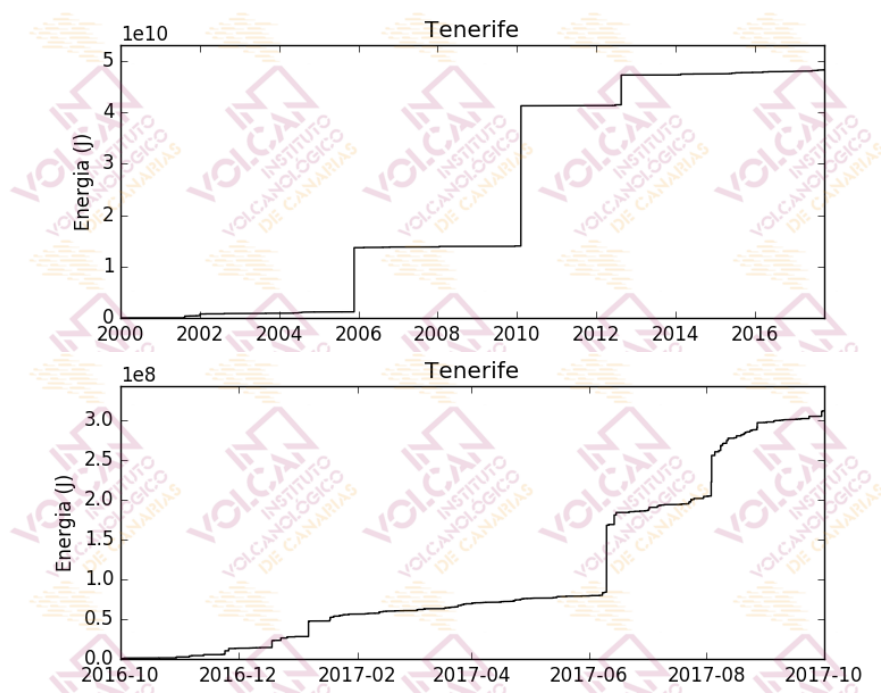
**Figura 1.3** - Profundidades de los hipocentros localizados en el área de Tenerife. El gráfico superior corresponde al periodo enero 2000-septiembre 2017, mientras que el inferior muestra el periodo octubre 2016-septiembre 2017. [La fuente de los datos sísmicos anteriores al 21/11/2016 es el Instituto Geográfico Nacional, IGN].



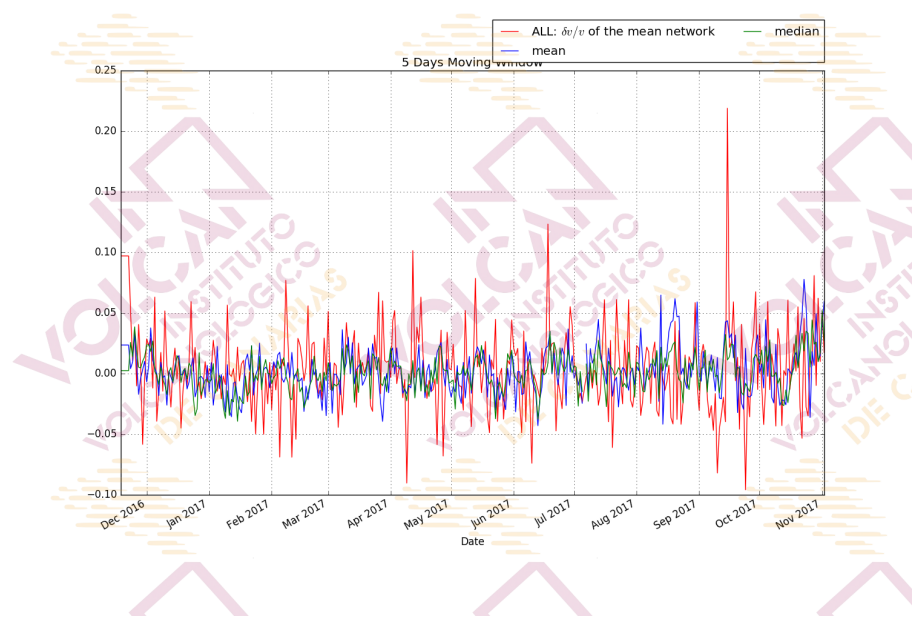
**Figura 1.4** - Magnitudes de los terremotos localizados en el área de Tenerife. El gráfico superior corresponde al periodo enero 2000-septiembre 2017, mientras que el inferior muestra el periodo octubre 2016-septiembre 2017. [La fuente de los datos sísmicos anteriores al 21/11/2016 es el Instituto Geográfico Nacional, IGN].



**Figura 1.5** – Energía sísmica liberada por los terremotos localizados en el área de Tenerife. El histograma superior corresponde al periodo enero 2000-septiembre 2017, mientras que el inferior muestra el periodo octubre 2016-septiembre 2017. [La fuente de los datos sísmicos anteriores al 21/11/2016 es el Instituto Geográfico Nacional].



**Figura 1.6** - Curva de energía sísmica acumulada por los terremotos localizados en el área de Tenerife. El gráfico superior corresponde al periodo enero 2000-septiembre 2017, mientras que el inferior muestra el periodo octubre 2016-septiembre 2017. [La fuente de los datos sísmicos anteriores al 21/11/2016 es el Instituto Geográfico Nacional, IGN].



**Figura 1.7** - Variaciones de velocidad relativa (%  $dv/v$ ) medidas por interferometría sísmica (software MSNoise) desde noviembre 2016 hasta septiembre 2017.



**Tabla 1.1** - Hipocentros localizados por la Red Sísmica Canaria en septiembre de 2017 y mostrados en la Figura 1.1

Fecha	Magnitud	Latitud (°N)	Longitud (°W)	Prof. (km)
2017-09-01 02:47	1.3	28.2394	-16.6436	6.0
2017-09-01 05:41	1.6	28.4164	-16.7352	25.9
2017-09-02 07:47	2.6	28.4208	-16.0809	24.6
2017-09-02 17:59	2.0	28.1480	-16.2326	28.1
2017-09-03 04:55	2.1	28.1034	-16.1257	0.0
2017-09-03 08:17	1.8	28.1140	-16.1957	9.2
2017-09-03 10:12	2.1	28.0697	-16.2631	23.4
2017-09-04 03:27	1.9	28.1148	-16.1961	7.0
2017-09-04 20:51	1.8	28.0964	-16.4110	0.2
2017-09-04 23:41	2.0	28.1074	-16.2147	13.2
2017-09-05 02:55	1.3	28.2769	-16.6634	10.9
2017-09-05 14:08:14	1.3	28.2593	-16.6398	13.4
2017-09-05 14:08:22	1.3	28.2325	-16.6794	20.5
2017-09-06 04:13:22	1.3	28.0903	-15.6150	0.0
2017-09-06 04:13:28	1.2	28.1347	-15.7142	0.0
2017-09-06 12:20	1.2	27.8565	-15.9455	12.4
2017-09-07 12:59	1.2	28.2625	-16.4502	24.3
2017-09-08 01:28	1.3	28.2520	-16.6761	12.8
2017-09-08 01:33	1.3	28.2410	-16.6666	11.1
2017-09-08 21:09	2.3	28.1565	-16.2242	0.0
2017-09-09 04:16	1.3	28.2059	-16.5720	11.0
2017-09-09 09:09	1.5	28.1840	-16.5195	7.0
2017-09-10 04:44:17	1.3	28.2499	-16.6581	6.9
2017-09-10 04:44:23	N.D.	28.2489	-16.6594	0.0
2017-09-10 04:45:06	1.2	28.2485	-16.6751	11.3
2017-09-10 04:45:21	1.4	28.2745	-16.6675	6.5
2017-09-10 22:25	2.6	28.8191	-17.0451	0.0
2017-09-10 22:39	2.6	28.6200	-17.2090	0.0
2017-09-12 08:33	1.4	28.1875	-15.9162	11.7
2017-09-13 05:20	1.0	28.3169	-16.5082	0.0
2017-09-13 08:44	1.2	28.1786	-16.6272	21.2
2017-09-13 09:21	1.2	28.2318	-16.6236	10.7
2017-09-13 09:40	1.0	28.2502	-16.6625	10.1
2017-09-13 16:04	1.1	28.2468	-16.6512	11.5
2017-09-13 19:22	1.1	28.2322	-16.6212	16.1
2017-09-14 01:38	1.1	28.2631	-16.6733	10.0
2017-09-14 16:48	N.D.	28.1696	-16.1887	0.0
2017-09-15 00:33	1.7	28.1965	-16.1176	0.0
2017-09-15 03:33	1.7	28.2008	-16.1414	2.6
2017-09-15 14:53	1.8	28.0846	-16.1598	4.4
2017-09-16 04:58	1.4	28.2557	-16.6680	11.1
2017-09-16 22:55	1.4	28.2260	-16.6210	2.4
2017-09-17 00:15	2.4	27.7534	-16.4173	47.5
2017-09-17 14:29	2.5	27.8455	-16.2321	0.0
2017-09-18 01:40	1.4	28.2533	-16.6424	8.1
2017-09-18 22:30	1.4	28.3559	-16.4485	1.1
2017-09-19 02:44	1.3	28.2426	-16.6648	13.3
2017-09-19 02:45:08	1.2	28.2480	-16.6647	11.5
2017-09-19 02:45:19	1.1	28.2342	-16.6621	13.2
2017-09-21 00:01:09	1.7	28.2203	-16.0714	6.3
2017-09-21 00:01:15	1.3	28.2580	-16.2570	0.0
2017-09-21 00:08:27	1.1	28.2502	-16.6568	8.2

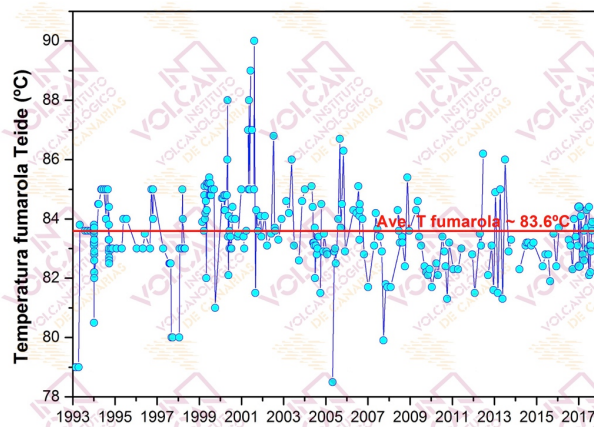


2017-09-21 00:08:48	N.D.	28.2486	-16.6393	0.0
2017-09-21 15:27	1.0	28.2350	-16.6475	8.2
2017-09-23 04:14	2.0	28.2461	-16.3123	23.9
2017-09-23 05:33	2.1	28.1059	-16.1251	6.9
2017-09-24 01:16	N.D.	28.2531	-16.6421	0.0
2017-09-24 03:04	2.1	28.0730	-16.1346	8.2
2017-09-24 22:36	1.7	28.0455	-16.2225	0.0
2017-09-25 18:09	1.5	28.0937	-16.0837	21.2
2017-09-25 22:10	1.1	28.1918	-16.3604	0.2
2017-09-26 23:38	1.4	28.1432	-16.2162	0.0
2017-09-27 02:47	1.5	28.0409	-16.1805	0.0
2017-09-28 00:18	0.8	28.2574	-16.6549	18.4
2017-09-28 15:05	1.8	28.3802	-16.0931	29.6
2017-09-28 20:45	0.8	28.2473	-16.6633	10.3
2017-09-29 02:17	0.9	28.2340	-16.6321	5.2
2017-09-29 03:13	1.7	28.0307	-16.2237	0.0
2017-09-29 15:36	1.0	28.2689	-16.7826	0.0
2017-09-29 16:18	2.2	28.2533	-16.7636	9.6
2017-09-29 23:57	1.4	28.2062	-16.5878	0.0
2017-09-30 01:26	1.3	28.2498	-16.6606	10.7
2017-09-30 01:35	1.3	28.2538	-16.6840	8.2
2017-09-30 01:37	1.0	28.2369	-16.6395	9.5
2017-09-30 01:45	0.8	28.3324	-16.6638	15.0
2017-09-30 01:47	1.2	28.2297	-16.6784	13.1
2017-09-30 02:05	1.7	28.1047	-16.1449	0.0
2017-09-30 02:17:37	1.8	28.0869	-16.1411	32.5
2017-09-30 02:17:55	1.4	28.1923	-16.1042	6.4
2017-09-30 04:40	2.1	28.1160	-16.2234	0.2
2017-09-30 05:02	1.7	28.0411	-16.3602	0.0
2017-09-30 05:40	1.6	28.1901	-16.1683	13.0
2017-09-30 19:27	1.2	28.2260	-16.6497	6.5

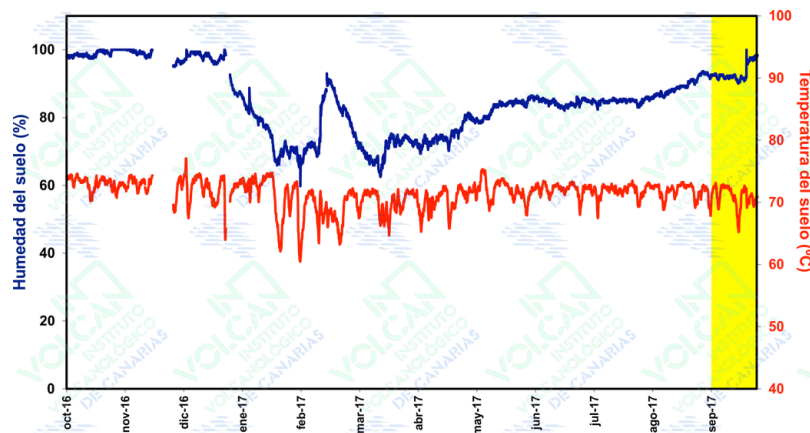


## 2 - Termometría y termografía

En el mes de septiembre de 2017, la monitorización termométrica para la vigilancia volcánica de Tenerife se realizó a través de (i) las estaciones que conforman la Red Termométrica Canaria existentes en la isla, (ii) la estación instrumental permanente del Consejo Insular de Aguas de Tenerife existente en el sondeo de Montaña Majúa, (iii) las campañas científicas periódicas de observación sobre el flujo de calor y la temperatura en la fumarola del cráter del Teide (TEF1). En este boletín se pueden observar los valores de la temperatura de las fumarolas del Teide y la temperatura a 40 centímetros de profundidad en la estación termométrica TFT12 (Mirador de la Fortaleza del Teide). Durante el mes de septiembre 2017, no fue posible acceder al cráter del Teide debido causas meteorológicas y logísticas. En la figura 2.1 se muestra la evolución temporal de los valores de temperatura registrados en las fumarolas del Teide entre 1993 y agosto de 2017. Las temperaturas registradas por la estación TFT12, presentan oscilaciones entre valores de 65-72°C (Fig. 2.2).



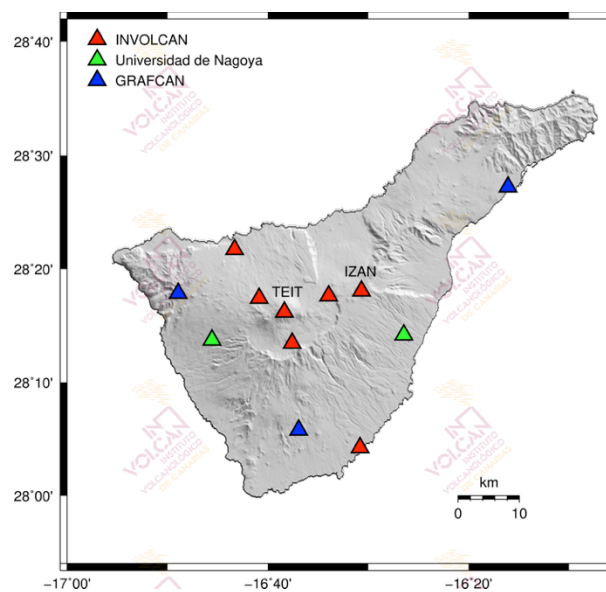
**Figura 2.1** – Variaciones temporales de la temperatura registrada en la fumarola del Teide (TEF1) desde 1993. No hay datos para septiembre de 2017.



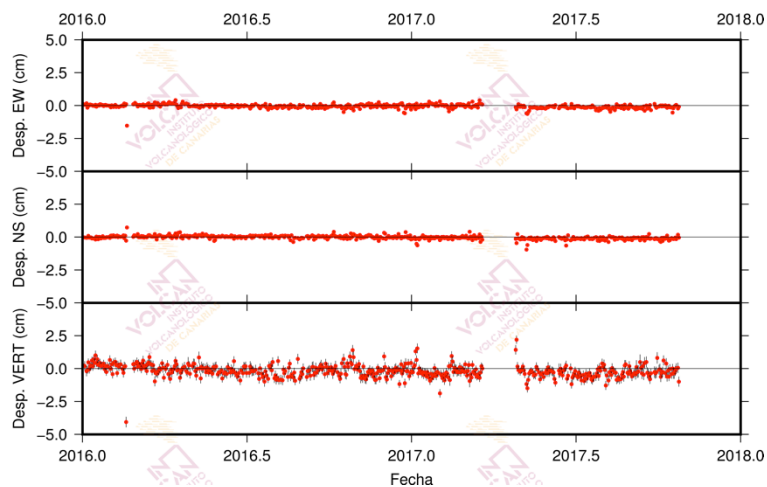
**Figura 2.2** – Variaciones temporales de la media móvil semanal relacionada con el registro en modo continuo de la humedad (azul) y la temperatura (rojo) a 40 centímetros de profundidad en estación termométrica TFT12 (Mirador de la Fortaleza del Teide, Tenerife). Los datos de septiembre de 2017 se encuentran indicados por el área amarilla.

### 3 - Geodesia

En el mes de septiembre de 2017, la monitorización geodésica para la vigilancia volcánica de Tenerife se ha realizado a través de la Red GPS Canaria que en Tenerife cuenta con 12 estaciones GPS diferenciales permanentes, de las cuales 2 son de la Universidad de Nagoya, 3 de GRAFCAN y 7 de ITER/INVOLCAN (Fig. 3.1). En este boletín se muestran los datos de la estación GPS del Teide (IZAN) (Fig. 3.2). Ninguna de las estaciones ha registrado desplazamientos horizontales significativos, dígase más altos de la incertidumbre experimental. El desplazamiento vertical muestra una ligera subsidencia relacionada con la deformación de largo periodo de la Isla de Tenerife.



**Figura 3.1** – Red GPS Canaria en la Isla de Tenerife compuesta por 12 estaciones GPS diferenciales permanentes (Universidad de Nagoya, GRAFCAN, ITER/INVOLCAN)

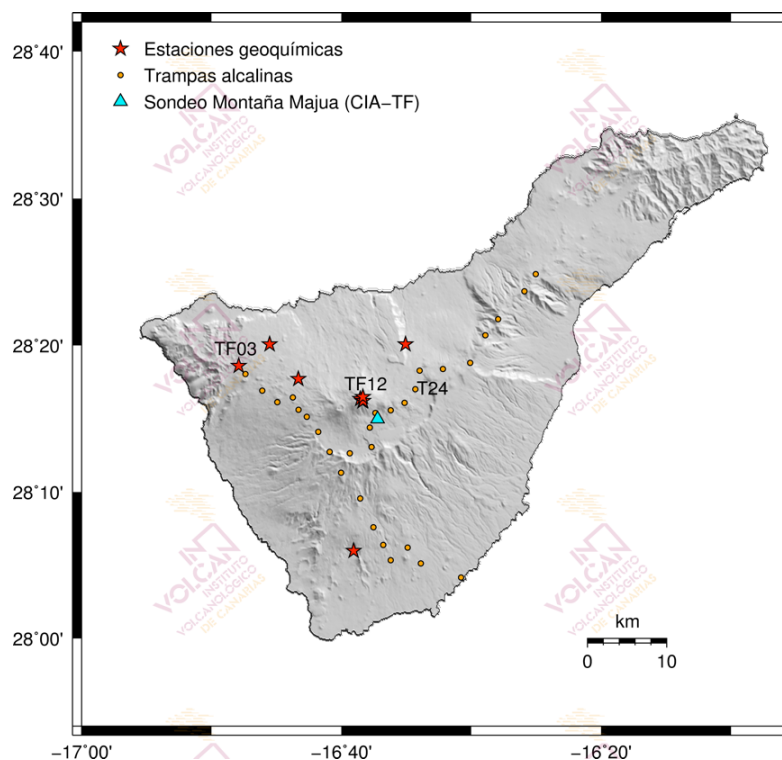


**Figura 3.2** – Series temporales de los desplazamientos verticales y horizontales registrados por la estación GPS IZAN (Izaña) desde 2016. El valor medio y la incertidumbre para cada día se indican en rojo y negro, respectivamente.

## 4 - Geoquímica

En el mes de septiembre de 2017, la monitorización geoquímica para la vigilancia volcánica de Tenerife se ha realizado a través de (i) la Red Geoquímica Canaria que en la Isla de Tenerife cuenta con 7 estaciones instrumentales permanentes, (ii) la estación instrumental permanente del Consejo Insular de Aguas de Tenerife existente en el sondeo de Montaña Majúa, (iii) una red de observación y medida semanal del flujo difuso de dióxido de carbono ( $\text{CO}_2$ ) compuesta por 24 trampas alcalinas, (iv) campañas científicas periódicas de observación sobre emisión difusa de dióxido de carbono ( $\text{CO}_2$ ) en el cráter del Teide, y (v) el seguimiento y medida de la composición química e isotópica de las fumarolas en el cráter del Teide (Fig. 4.1).

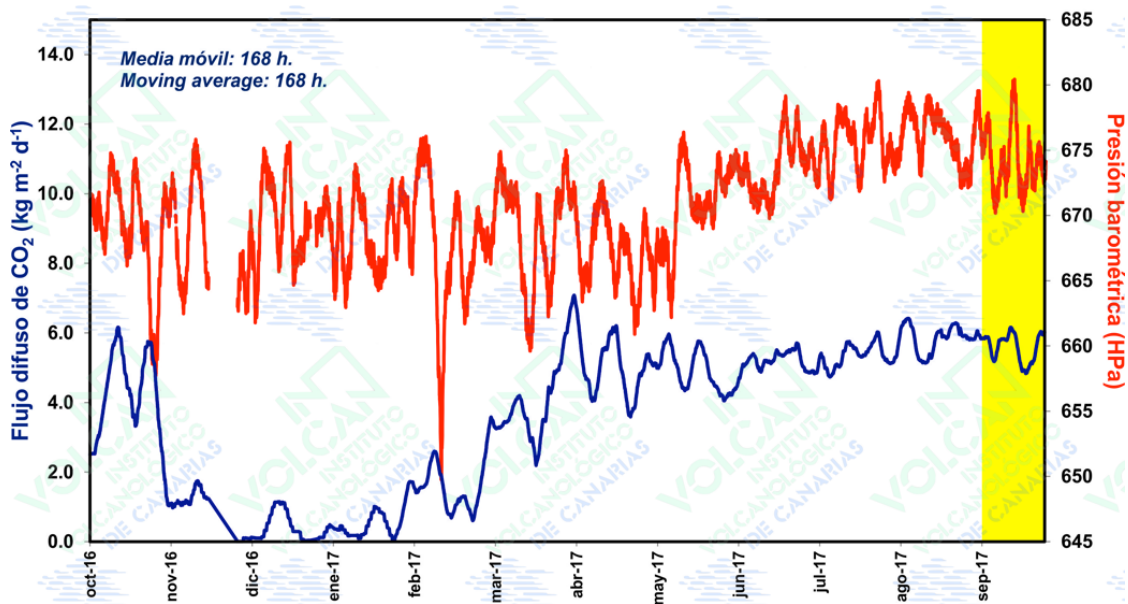
En este boletín se muestran datos relacionados con (a) el flujo difuso de dióxido de carbono ( $\text{CO}_2$ ) de la estación geoquímica TFG12 (Mirador de la Fortaleza del Teide) (Fig. 4.2), (b) la emisión difusa de dióxido de carbono ( $\text{CO}_2$ ) en el cráter del Teide (Fig. 4.3), (c) el flujo difuso de dióxido de carbono ( $\text{CO}_2$ ) registrado en las estaciones de la Red de Trampas Alcalinas de los sistemas volcánicos Dorsal Noroeste de Tenerife (Fig. 4.4), Dorsal Noreste de Tenerife (Fig. 4.5), Dorsal Norte-Sur de Tenerife (Fig. 4.6) y caldera de Las Cañadas (Fig. 4.7), (d) algunas relaciones geoquímica de las fumarolas del Teide (Fig. 4.8) y (e) algunos parámetros físico-químicos de las aguas subterráneas que se monitorizan en la estación geoquímica TFG03 (Fig.4.9).



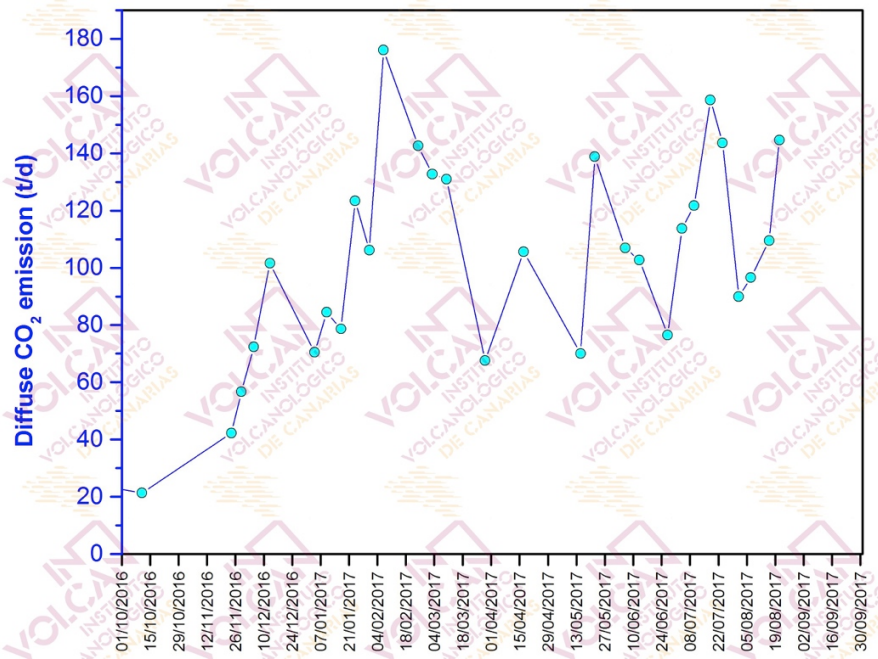
**Figura 4.1** – Mapa de localización de las estaciones de la Red Geoquímica Canaria y de la Red de Trampas Alcalinas en la Isla de Tenerife así como de la estación instrumental permanente del sondeo del Consejo Insular de Aguas de Tenerife en Montaña Majúa.

Desde noviembre de 2016 se evidencian registros relativamente altos en la tasa de emisión difusa de dióxido de carbono (CO<sub>2</sub>) en el cráter del Teide (Fig. 4.3). Durante el mes de septiembre, no fue posible acceder al cráter del Teide debido causas meteorológicas y logísticas. La figura 4.3 muestra la evolución temporal de la emisión difusa de CO<sub>2</sub> en el cráter del Teide durante el último año. En febrero 2017 esta tasa de emisión alcanzó los 175 toneladas diarias; el mayor valor registrado durante todo el periodo de observación desde que se comenzaron a realizar las campañas científicas periódicas de observación sobre este parámetro geoquímico en el cráter del Teide en 1997.

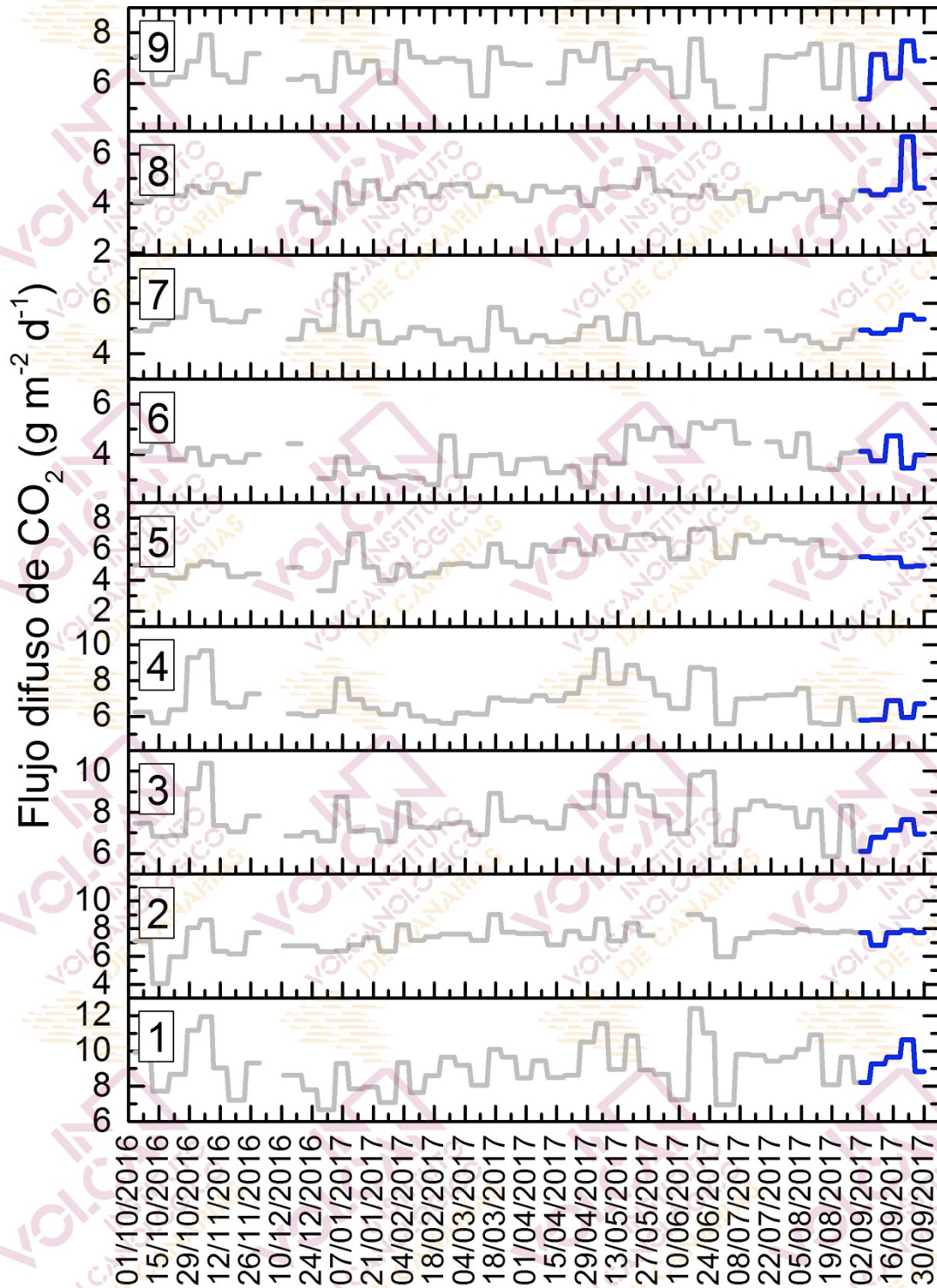
El registro del flujo difuso de dióxido de carbono (CO<sub>2</sub>) en la estación TFG12 refleja una media móvil semanal del flujo difuso de dióxido de carbono (CO<sub>2</sub>) estable entre los 4 - 6 kilogramos diarios por metro cuadrado (kg/m<sup>2</sup>/d) durante el mes de septiembre de 2017 (Fig. 4.2), mientras que el flujo difuso de dióxido de carbono (CO<sub>2</sub>) registrado en la Red de Trampas Alcalinas no refleja tendencias claras (Figs. 4.4, 4.5, 4.6 y 4.7). Durante el mes de septiembre, no fue posible acceder al cráter del Teide debido causas meteorológicas y logísticas por lo que no se tienen datos de las relaciones CO<sub>2</sub>/CH<sub>4</sub>, H<sub>2</sub>/CO<sub>2</sub> y He/CO<sub>2</sub> en las fumarolas del Teide para este mes (Fig. 4.8). Los parámetros físico-químicos de las aguas subterráneas medidos por la estación TFG03 no muestran ninguna tendencia significativa excepto una ligera tendencia de incremento en la temperatura del agua (Fig. 4.9).



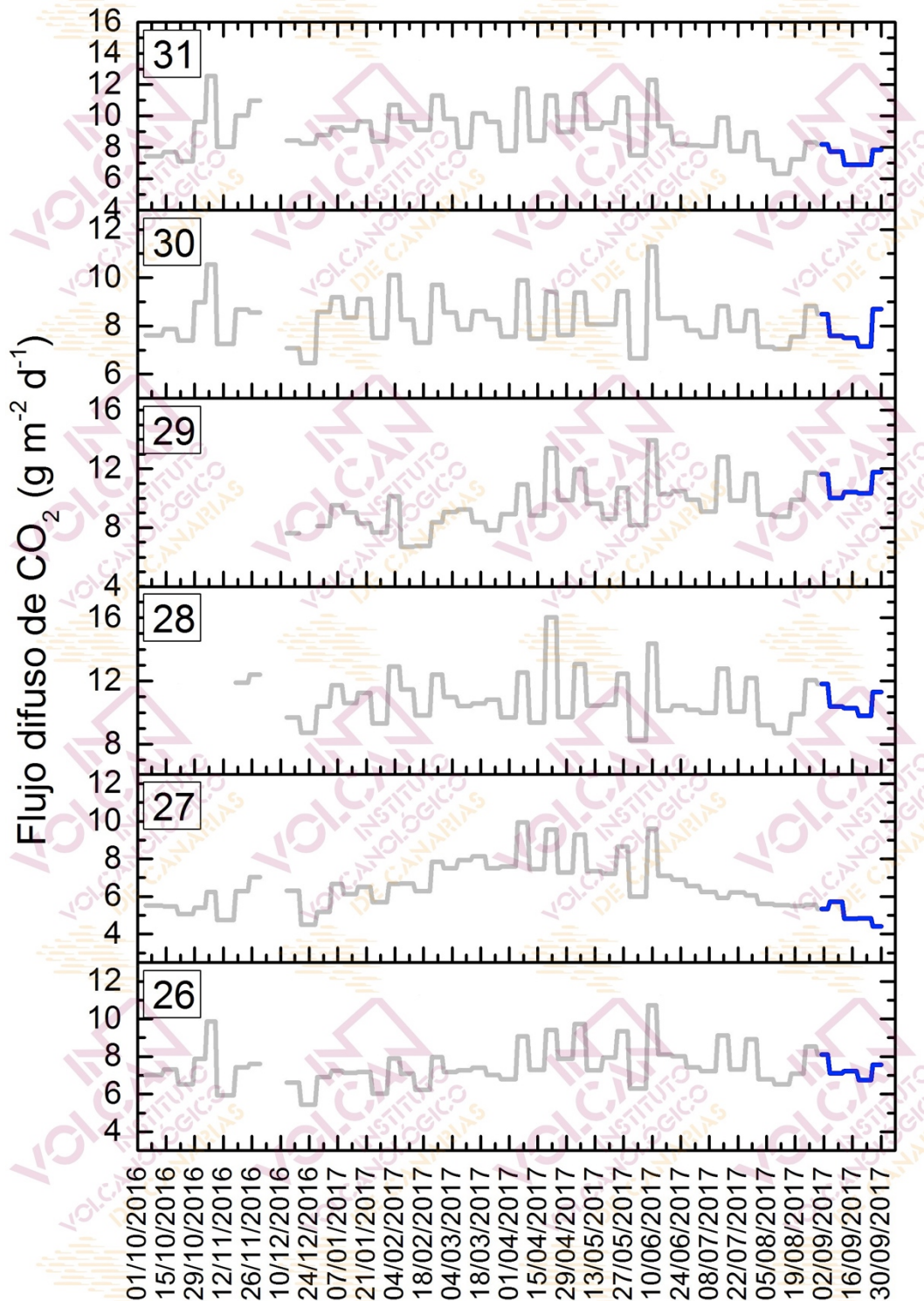
**Figura 4.2** - Monitorización de la media móvil semanal del registro en modo continuo del flujo de CO<sub>2</sub> (azul) y la presión barométrica (rojo) de la estación geoquímica TFG12 (Mirador de la Fortaleza del Teide, Tenerife). Los datos de septiembre de 2017 se encuentran indicados por el área amarilla.



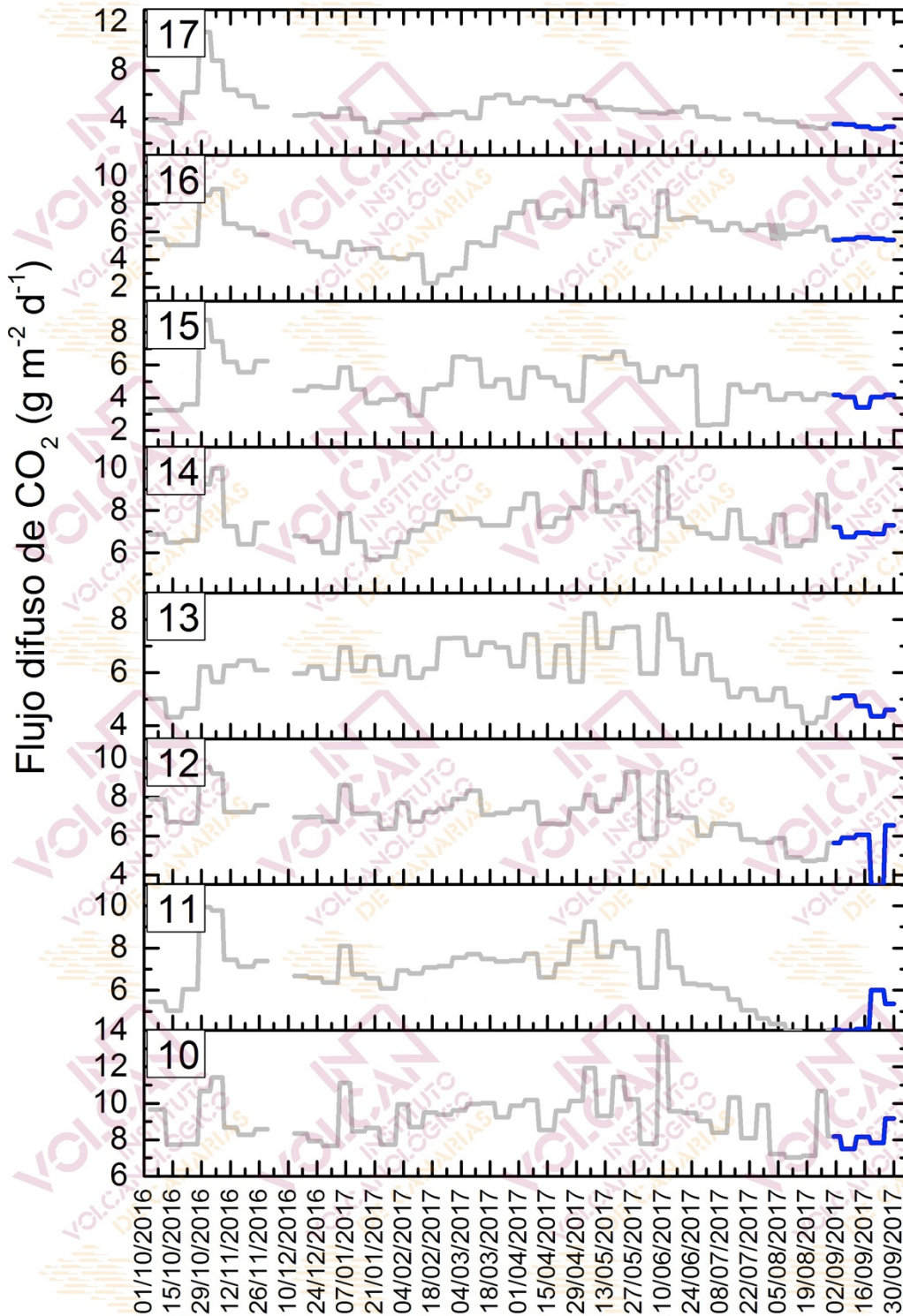
**Figura 4.3** – Variaciones temporales de la emisión difusa de dióxido de carbono (CO<sub>2</sub>) en el cráter del Teide durante los últimos 12 meses. No hay datos para septiembre de 2017.



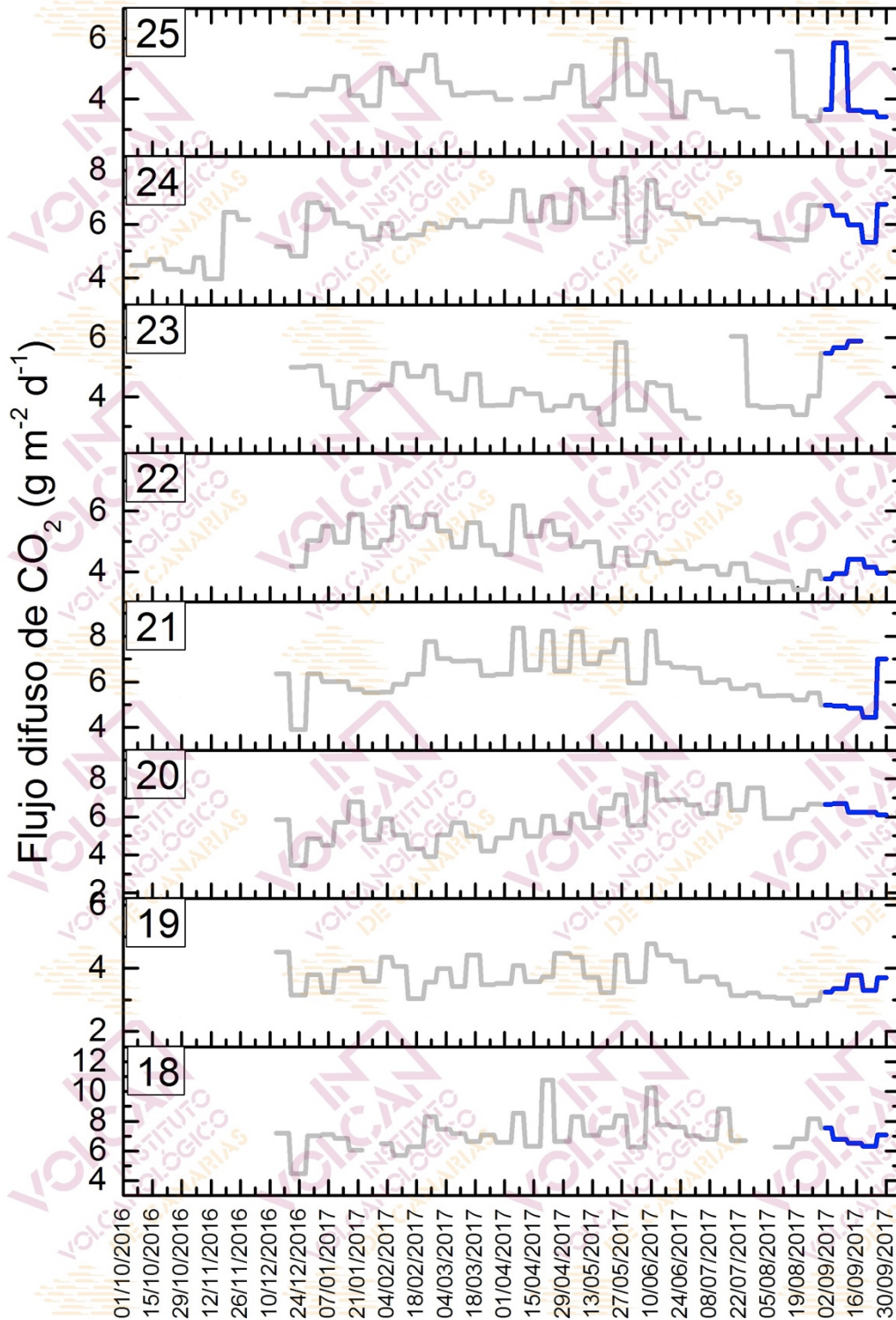
**Figura 4.4** – Monitorización semanal del flujo difuso de CO<sub>2</sub> en la Red de Trampas Alcalinas del sistema volcánico Dorsal Noroeste de Tenerife desde octubre de 2016. Los datos de septiembre de 2017 se encuentran marcados en azul oscuro.



**Figura 4.5** – Monitorización semanal del flujo difuso de CO<sub>2</sub> en la Red de Trampas Alcalinas del sistema volcánico Dorsal Noroeste de Tenerife desde octubre de 2016. Los datos de septiembre de 2017 se encuentran marcados en azul oscuro.



**Figura 4.6** – Monitorización semanal del flujo difuso de CO<sub>2</sub> en la Red de Trampas Alcalinas del sistema volcánico Dorsal Norte-Sur de Tenerife desde octubre de 2016. Los datos de septiembre de 2017 se encuentran marcados en azul oscuro.



**Figura 4.7** – Monitorización semanal del flujo difuso de CO<sub>2</sub> en la Red de Trampas Alcalinas de la Caldera de Las Cañadas principalmente desde diciembre de 2016. Los datos de septiembre de 2017 se encuentran marcados en azul oscuro.

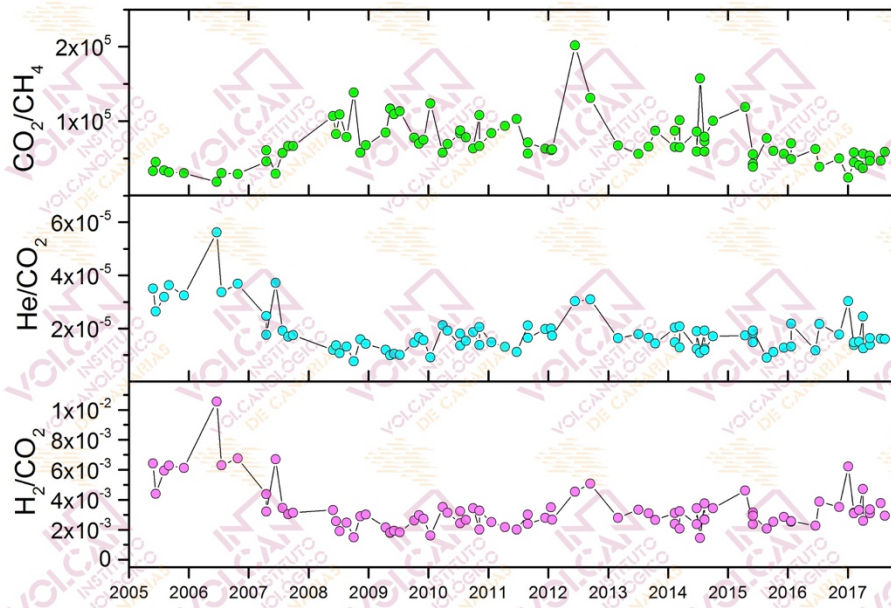


Figura 4.8 - Variaciones temporales de las relaciones molares  $\text{CO}_2/\text{CH}_4$ ,  $\text{He}/\text{CO}_2$  y  $\text{H}_2/\text{CO}_2$  en las fumarolas del Teide (TEF1). No hay datos para septiembre de 2017.

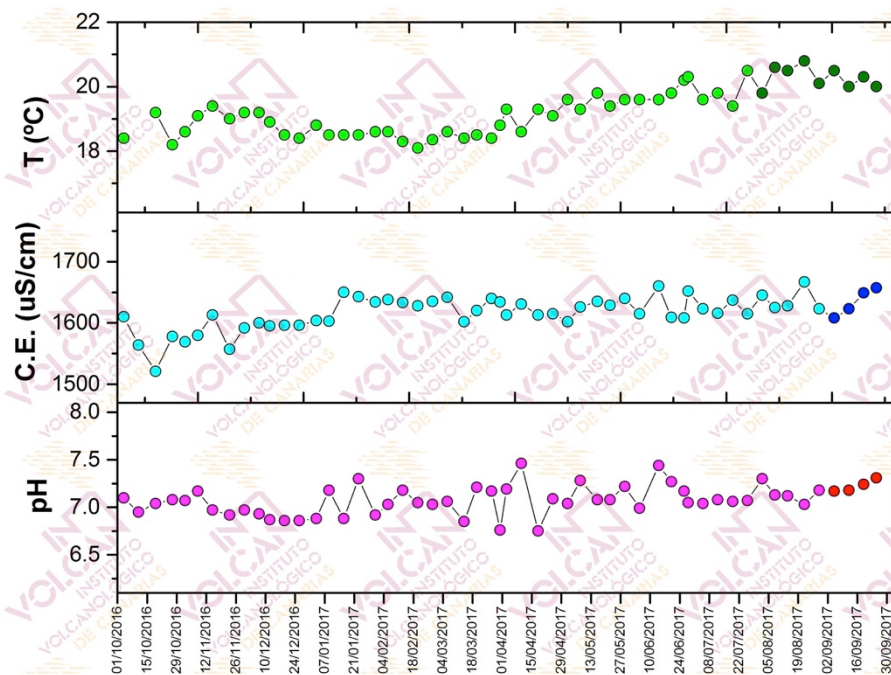


Figura 4.9 - Variaciones temporales de temperatura, conductividad ( $\mu\text{S}\cdot\text{cm}^{-1}$ ) y pH medidas en el agua subterránea de la estación geoquímica TFG03, desde octubre de 2016. Los datos de septiembre de 2017 se encuentran indicados en diferentes colores.



Este boletín ha sido elaborado gracias al proyecto al proyecto “MONITORIZACIÓN E INVESTIGACIÓN SOBRE LA ACTIVIDAD VOLCÁNICA DE TENERIFE” co-financiado por el Programa Tenerife Innova 2016-2021 que coordina el Área Tenerife 2030: Innovación, Educación, Cultura y Deportes del Cabildo Insular de Tenerife.

### Este boletín ha sido redactado por:

---

- Nemesio M. Pérez Rodríguez,  
Coordinador Científico del INVOLCAN
  
- Laura Acosta Armas
- Mar Alonso Cótchico
- Cecilia Amonte López
- María Asensio Ramos
- José Barrancos Martínez
- Iván Cabrera Pérez
- David Calvo Fernández
- Noelia Crespo Arribas
- Luca D'Auria
- Marta García Merino
- Ana Miranda Hardisson
- Rubén García Hernández
- Ernesto García Peirotén
- Pedro A. Hernández Pérez
- Hugo Lamier
- Gladys V. Melián Rodríguez
- Cecilia Morales Ocaña
- German D. Padilla Hernández
- Eleazar Padrón González
- Aarón Pérez Martín
- Fátima Rodríguez García
- Takeshi Sagiya
- Katarzyna Anna Slezak
- Verónica Vela Vela

